

Faculdade de Engenharia da Universidade do Porto



## Joint Motor Control

Mestrado Integrado em Engenharia Electrotécnica e de Computadores  
Robótica Industrial

Professor: António Moreira

Carlos Tiago Feijão Duarte Torres Almeida  
Sandro Augusto Costa Magalhães  
Telmo Miguel Silva Costa

UP201303918  
UP201304932  
UP201305393

Maio de 2017

## 1 Introdução

Pretende-se desenvolver um sistema de controlo PID em cascata em malha fechada para um motor Joint.

Para tal começa-se por se analisar e modelar o sistema, para, iterativamente implementar as diferentes componentes do PID e analisar o seu comportamento, melhorando os parâmetros.

## 2 Análise do modelo à variação manual da tensão

Por aplicação de diferentes tensões no motor, pode-se de imediato inferir que este está limitado a uma tensão de  $\pm 12V$ .

## 3 Controlo proporcional do motor

O controlo proporcional do motor consiste na multiplicação de um ganho pelo erro, resultando, daqui, a tensão que vai ser aplicada ao motor.

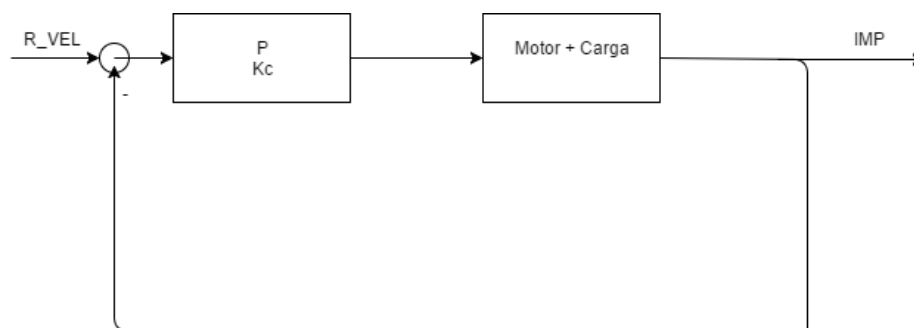


Figura 1: Modelo em malha fechada do controlo proporcional

```

1 // Global Variables
2 var
3   Vnom: double;
4
5 procedure Control;
6 var Pulses: integer;
7   Volts, Gain, Error: double;
8 begin
9   Pulses := GetAxisOdo(0, 0);
10  SetRCValue(2,2,format('%d',[Pulses]));
11  Reference := GetRCValue (3,2);
12  Gain := GetRCValue (4,2);
13
14  Error := Pulses - Reference;
15
16  // Manual Control
17  Volts := Error * Gain;
18  SetAxisVoltageRef(0, 0, Volts);
19 end;
20
21 procedure Initialize;
22 begin
23   SetMotorActive(0, 0, true);
24 end;

```

Neste tipo de controlo, quando os ganhos são elevados, quanto maior o erro, maior é a tensão a ser aplicada ao motor. Portanto, quando o motor está muito perto do erro nulo, ele ainda está a sofrer inércia de tensões aplicadas anteriormente. Devido a este efeito, o motor nunca é capaz de recuperar e estabilizar em erro nulo, tornando o seu modo de funcionamento instável e oscilatório; sendo que este efeito aumenta conforme aumenta o ganho do motor.

Por outro lado, se aplicados ganhos pequenos, tipicamente inferiores a 1, o sistema nunca é capaz de atingir a referência.

Podemos assim deduzir que ganhos elevados permitem-nos atingir a referência, mas levam-nos para a instabilidade. Por outro lado, ganhos pequenos são mais estáveis, mas não nos permitem anular o erro. Conclui-se, por conseguinte, que um controlador do tipo proporcional não é suficiente para controlar o motor.

## 4 Modelo do motor mais carga

Com recurso ao código que simula o comportamento do motor em modo manual, por alteração da tensão do motor, pretende-se calcular o modelo aproximado do sistema a controlar que segue a forma da equação 1.

$$G(s) = \frac{k_p}{\tau s + 1} \quad (1)$$

Começou-se por induzir na entrada uma tensão de 2V que resulta numa velocidade de 8 impulsos/ciclo. De seguida, provoca-se uma tensão de 10V que resulta em 50 impulsos/ciclo. Por fim, por simplificação do sistema, assumiu-se que a recta que une os dois pontos é linear e, com recurso à equação 2, calculou-se o declive da recta, que corresponde ao ganho do sistema, que é  $k_p = 5,25$ .

$$k_p = \frac{v_{max} - v_{min}}{V_{max} - V_{min}} \quad (2)$$

Numa segunda fase, pretende-se obter a constante de tempo,  $\tau$ , que modela o sistema motor mais carga em malha aberta.

Começa-se, assim, por registar o gráfico da transição de velocidade que corresponde à variação da tensão de 2 para 10 Volts, representado na figura 2.

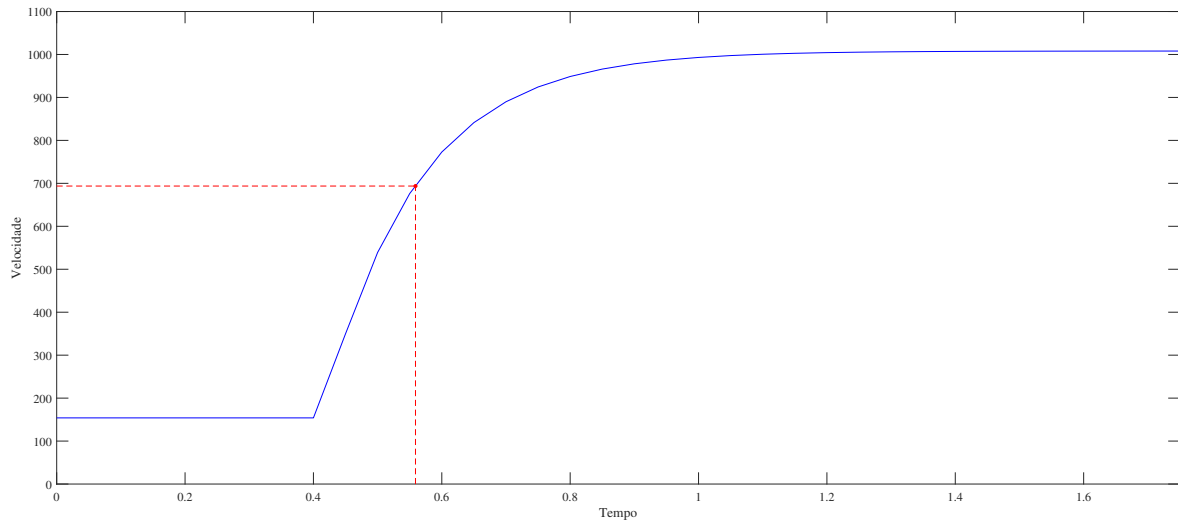


Figura 2: Gráfico da variação de velocidade de 2 para 10V.

Por análise do registo do gráfico, concluímos que há uma transição de velocidade que vai de 154 para 1007,98, que corresponde a uma diferença de 853,98. Considerando que a constante de tempo corresponde a 63,2% da elevação, temos que esta corresponde ao intervalo de tempo que vai desde que começou a subida até ao instante em que é  $539,72 + 154 = 693,72$ .

Aplicando uma interpolação linear, equação 3, concluímos que o instante referido é 559ms. Subtraindo agora o instante inicial da subida, isto é, 400ms, concluímos que  $\tau = 159$ ms.

$$y = y_0 + (x - x_0) \frac{y_1 - y_0}{x_1 - x_0} \quad (3)$$

Concluímos, assim, que de acordo com o modelo especificado na equação 1, o modelo do nosso motor é

$$G(s) = \frac{5,25}{0,159s + 1} \quad (4)$$

## 5 Controlo proporcional e integral (PI) do motor

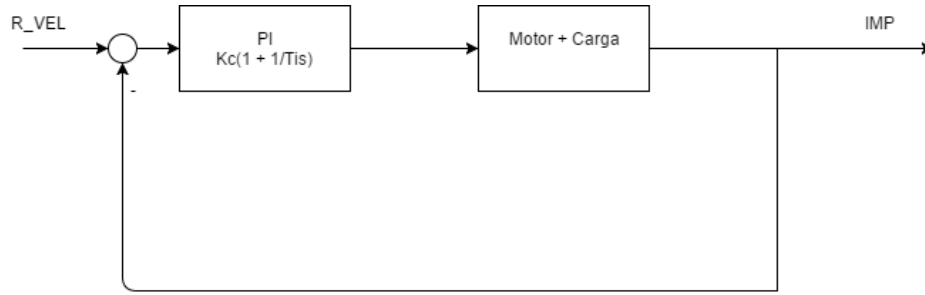


Figura 3: Malha fechada do controlador PD

De forma a calcular os parâmetros do controlador PI, recorreu-se ao método IMC-PID para duas constantes de tempo em malha fechada ( $\tau_{CL} = 0,10$  e  $\tau_{CL} = 0,15$ ).

Segundo este método, para o modelo motor mais carga utilizado, o valor de  $T_i$  é igual ao valor da constante de tempo, 159ms, enquanto o produto  $K_c \cdot K_p$  é dado por  $\frac{\tau}{\tau_{CL}}$ . Assim, uma vez que  $K_p = 5,25$  e  $\tau = 159$ ms, infere-se que os valores de  $K_c$  são 0,303 e 0,202, para  $\tau_{CL} = 0,10$ s e  $\tau_{CL} = 0,15$ s, respetivamente. Obtidos estes valores, é possível simular o sistema com o controlador PI implementado e inferir a respetiva constante de tempo.

Tal como no cálculo do modelo do motor + carga, observou-se a resposta ao degrau do sistema, verificando-se o tempo decorrido entre o início da subida e até ser atingido 63,2% desta. Assim, para  $\tau_{CL} = 0,10$  s, verificou-se uma subida de velocidade de 801,8843 sendo que o valor da velocidade quando são atingidos 63,2% da elevação é de 704,6459. Recorrendo ao mesmo método usado para o cálculo do modelo do motor, temos que a constante de tempo do PI em malha fechada é  $\tau_{CL} = 0,129$  s.

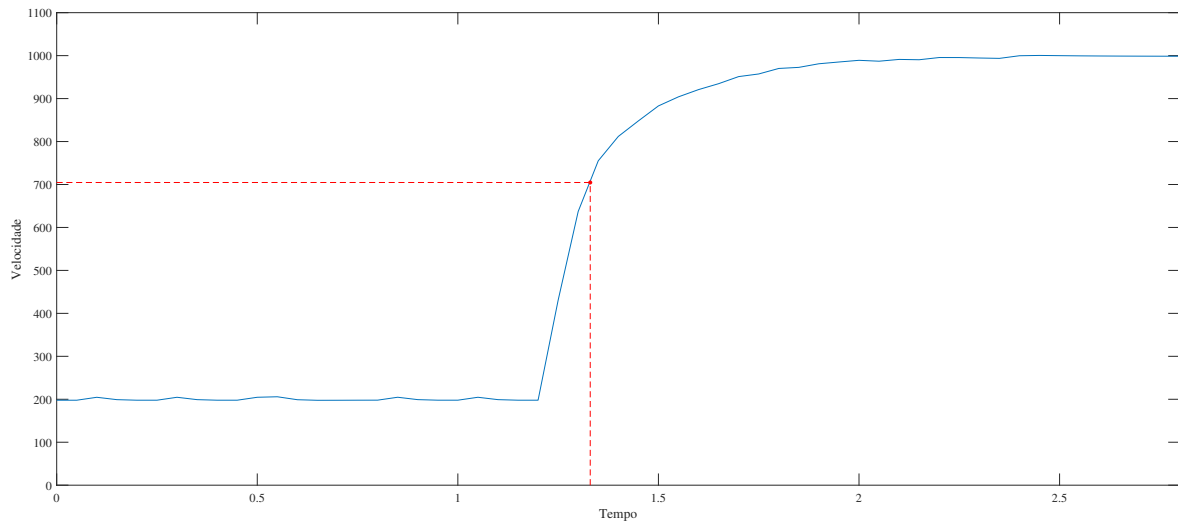


Figura 4: Gráfico da variação de velocidade de uma variação acentuada da referência.

Considerando  $\tau_{CL} = 0,15$  s e aplicando o mesmo processo, verifica-se uma elevação de velocidade de 806,4422, atingindo-se 63,2% da elevação a uma velocidade de 705,3972. Temos então que  $\tau_{CL} = 0,169$  s.

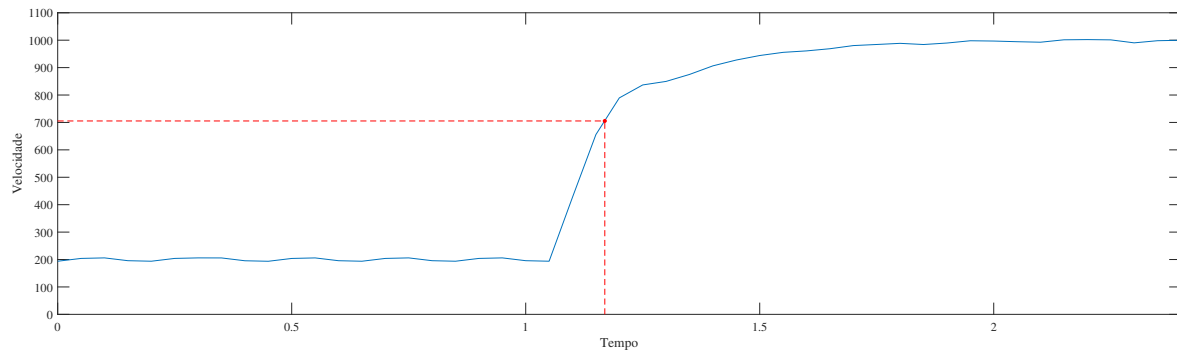


Figura 5: Gráfico da variação de velocidade de uma variação acentuada da referência.

Um dos critérios heurísticos tidos em conta para a selecção da constante de tempo em malha fechada é que  $\tau_{CL} \geq 2 \times \tau_{motor}$ . No entanto, devemos-nos afastar um pouco deste limite, devido às aproximações que fazemos ao processo, portanto, conclui-se que a melhor constante de tempo a utilizar é de  $\tau_{CL} = 15\text{ms}$ .

Uma alternativa para se poder utilizar  $\tau_{CL} = 10\text{ms}$  era reduzir o tempo de amostragem. No entanto, esta torna-se inviável devido ao modo de funcionamento dos *encoders*, que não são capazes de amostrar mais rápido.

```

1 // Global Variables
2 var
3   Integral: double;
4   Ti,Tc, Kc: double;
5
6 procedure Control;
7 var Pulses: integer;
8     Volts, Reference, Error: double;
9
10 begin
11   // Leitura
12   Pulses := GetAxisOdo(0, 0);
13   Reference := GetRCValue (3,2);
14
15   // Processo
16   Error := Reference - Pulses;
17   Integral := Integral + Error*Tc;
18   Volts := Kc *(Error + (1/Ti)*Integral);
19
20   // Anti-Windup
21   if (Volts > 12) then begin
22     Volts := 12;
23     Integral := Integral - Error*Tc;
24   end;
25   if (Volts < -12) then begin
26     Volts := -12;
27     Integral := Integral - Error*Tc;
28   end;
29
30   // Escrita
31   SetAxisVoltageRef(0, 0, Volts);
32   SetRCValue(2,2,format('%d',[Pulses]));
33   SetRCValue (1,2,format('%g',[Volts]));
34   SetRCValue (5,2, format('%g',[Error]))
35 end;
36
37 procedure Initialize;
38 begin
39   SetMotorActive(0, 0, true);
40
41   Integral := 0;
42   Ti := 0.159;
43   Tc := 0.05
44   Kc := 0.202;
45 end;

```

## 6 Controle proporcional e derivativo (PD) do motor

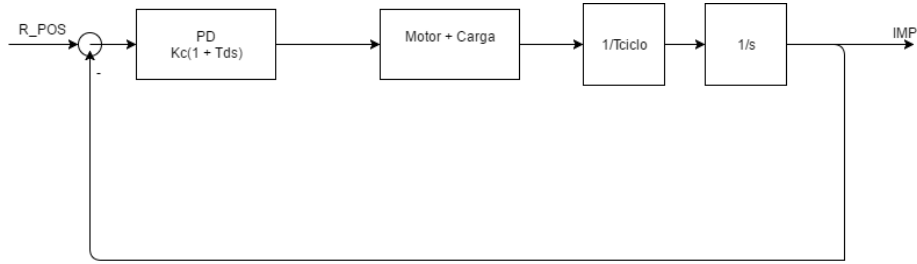


Figura 6: Malha fechada do controlador PD

Do modelo apresentado anteriormente facilmente se retira:

$$\frac{IMP(s)}{R_{POS}(s)} = \frac{G(s)}{1 + G(s) \cdot H(s)} \quad (5)$$

Dado que, neste caso,  $H(s) = 1$  e  $G(s) = \frac{K_c \cdot (1 + T_d \cdot s) \cdot K_p}{(\tau s + 1) \cdot T_{ciclo} \cdot s}$ , tem-se:

$$\frac{G(s)}{(1 + G(s) \cdot H(s))} = \frac{K_c \cdot (1 + T_d \cdot s) \cdot K_p}{(\tau s + 1) \cdot T_{ciclo} \cdot s + K_c(1 + T_d \cdot s)K_p} = \frac{N(s)}{D(s)} \quad (6)$$

Simplificando o denominador, tem-se:

$$D(s) = s^2 + \left( \frac{1}{\tau} + \frac{K_c K_p T_d}{T_{ciclo} \cdot \tau} \right) \cdot s + \frac{K_p K_c}{T_{ciclo} \cdot \tau} \quad (7)$$

Por outro lado, sabe-se que :

$$\left( s - \frac{B_1}{T_{est}} \right) \left( s - \frac{\overline{B_1}}{T_{est}} \right) = s^2 + b_1 s + b_0 \quad (8)$$

E como para o protótipo de Bessel de segunda ordem temos  $B_1 = -4,0530 + j2,34$  e settling time ( $T_{est}$ ) ajustado para 0,9s, é possível inferir os correspondentes valores dos coeficientes  $b_1 = -9,00667$  e  $b_0 = 27,040011$ .

De seguida, igualando os coeficientes das equações anteriores e resolvendo obtém-se  $K_c = 0,0409$  e  $T_d = 0,1005$ .

```

1 // Global Variables
2 var
3   Integral_out, Error_ant: double;
4   Ti, Tc, Kc, Td: double;
5
6 procedure Control;
7 var Pulses: integer;
8     Volts, Reference, Error, Derivative, Pulses_second: double;
9
10 begin
11   // Leitura
12   Pulses := GetAxisOdo(0, 0);
13   Reference := GetRCValue (3,2);
14
15   // Controlador
16   Pulses_second := Pulses / Tc;
17   Integral_out := Integral_out + Pulses_second*Tc;
18   Error := Reference - Integral_out;
19   Derivative := (Error-Error_ant)/Tc;
20   Volts := Kc *(Error + Td*Derivative);
21
22   Error_ant := Error;
23
24   // Anti-Windup
25   if (Volts > 12) then begin
26     Volts := 12;
27   end;

```

```

28  if (Volts < -12) then begin
29      Volts := -12;
30  end;
31
32  // Escrita
33  SetAxisVoltageRef(0, 0, Volts);
34
35  SetRCValue(2,2,format('%d',[Pulses]));
36  SetRCValue (1,2,format('%g',[Volts]));
37  SetRCValue (5,2, format('%g',[Error]));
38  SetRCValue (7,2, format('%g',[Integral_out]));
39  end;
40
41  procedure Initialize;
42  begin
43      SetMotorActive(0, 0, true);
44
45      Integral_out := 0;
46      Error_ant := 0;
47
48      Ti := 0.159;
49      Tc := 0.05;
50      Td := 0.1005;
51      Kc := 0.0409;
52  end;

```

## 7 Controlo proporcional, integral e derivativo (PID) em cascata do motor

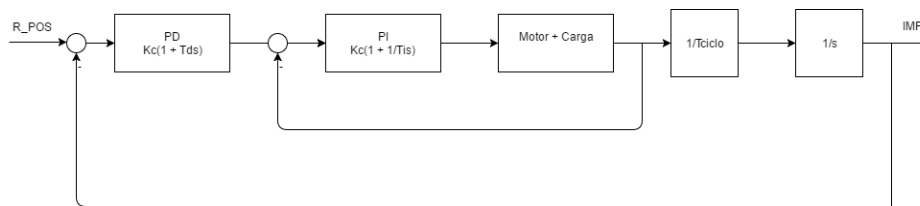


Figura 7: Malha fechada do controlador PD

Nesta fase do trabalho procurou-se integrar as soluções de controlo de velocidade e posição num único controlador em cascata. De forma a obter os parâmetros do controlador proporcional-derivativo basta aplicar o método descrito no ponto anterior, recorrendo às expressões 6 e 7, tendo em consideração que utilizamos a constante de tempo de malha fechada do controlador PI aplicado, isto é,  $\tau_{CL} = 0,169$  s.

Deste modo, obtêm-se os valores de  $K_c$  e  $T_d$ , com  $K_c = 0,04325$  e  $T_d = 0,11425$ .

```

1  // Global Variables
2  var
3      Integral_out, Integral_PI, Error_ant: double;
4      Ti,Tc, Kc, Td, Kc_PI: double;
5
6  procedure Control;
7  var Pulses: integer;
8      Volts, Reference, Error, Error_PI, Derivative, Pulses_second: double;
9
10 begin
11     // Leitura
12     Pulses := GetAxisOdo(0, 0);
13     Reference := GetRCValue (3,2);
14
15     // Controlador PD
16     Pulses_second := Pulses / Tc;
17     Integral_out := Integral_out + Pulses_second*Tc;
18     Error := Reference - Integral_out;
19     Derivative := (Error-Error_ant)/Tc;
20     Volts := Kc *(Error + Td*Derivative);

```

```

21
22 Error_ant := Error;
23
24 // Controlador PI
25 Error_PI := Volts - Pulses;
26 Integral_PI := Integral_PI + Error_PI*Tc;
27 Volts := Kc_PI *(Error_PI + (1/Ti)*Integral_PI);
28
29 // Anti-Windup
30 if (Volts > 12) then begin
31   Volts := 12;
32 end;
33 if (Volts < -12) then begin
34   Volts := -12;
35 end;
36
37 // Escrita
38 SetAxisVoltageRef(0, 0, Volts);
39
40
41 SetRCValue(2,2,format('%d',[Pulses]));
42 SetRCValue (1,2,format('%g',[Volts]));
43 SetRCValue (5,2, format('%g',[Error]));
44 SetRCValue (7,2, format('%g',[Integral_out]));
45 end;
46
47 procedure Initialize;
48 begin
49   SetMotorActive(0, 0, true);
50
51   Integral_out := 0;
52   Error_ant := 0;
53   Integral_PI := 0;
54
55   Ti := 0.159;
56   Tc := 0.05;
57   Td := 0.11425;
58   Kc := 0.04352;
59   Kc_PI := 0.202;
60 end;

```

## 8 Implementação do código num sistema real

### 8.1 Código controlador PI

```

1  /* Inicio do controlador */
2
3  Erro = RefVel - vel_odol;
4  Ierro = Ierro + Erro*Tc;
5  voltage_M1 = Kc * (Erro + (1/Ti)*Ierro);
6
7  // Anti-Windup
8  if (voltage_M1 > 12){
9    voltage_M1 = 12;
10   Ierro = Ierro - Erro*Tc;
11  }
12  if (voltage_M1 < -12){
13    voltage_M1 = -12;
14    Ierro = Ierro - Erro*Tc;
15  }
16
17  // Controller code - available variables:
18  // vel_odol - impulses per cycle
19  // encoder1_pos - position counter
20
21  voltage_M1 = voltage_M1*(1023/12);
22
23  if (voltage_M1 > 1023){
24    voltage_M1 = 1023;
25  }

```



```

26  if (voltage_M1 < -1023){
27      voltage_M1 = -1023;
28  }
29
30  set_M1_voltage(voltage_M1);

```

## 8.2 Código controlador PD

```

1  /* Inicio do controlador */
2
3  Iout = Iout+vel_odol;
4  Erro = RefPos-Iout;
5  derivada = (Erro - Erro_ant)/Tc;
6  voltage_M1 = Kc * (Erro + derivada*Td);
7
8  Erro_ant = Erro;
9
10 // Controller code - available variables:
11 // vel_odol - impulses per cycle
12 // encoder1_pos - position counter
13
14 voltage_M1 = voltage_M1*(1023/12);
15
16 if (voltage_M1 > 1023){
17     voltage_M1 = 1023;
18 }
19 if (voltage_M1 < -1023){
20     voltage_M1 = -1023;
21 }
22
23 set_M1_voltage(voltage_M1);

```

## 8.3 Código controlador PID

```

1  /* Inicio do controlador */
2
3  Iout = Iout+vel_odol;
4  Erro = RefPos-Iout;
5  derivada = (Erro - Erro_ant)/Tc;
6  RefVel = Kc * (Erro + derivada*Td);
7
8  Erro_ant = Erro;
9
10 Erro = RefVel - vel_odol;
11 Ierro = Ierro + Erro*Tc;
12 voltage_M1 = Kc_PI * (Erro + (1/Ti)*Ierro);
13
14 // Anti-Windup
15 if (voltage_M1 > 12){
16     voltage_M1 = 12;
17     Ierro = Ierro - Erro*Tc;
18 }
19 if (voltage_M1 < -12){
20     voltage_M1 = -12;
21     Ierro = Ierro - Erro*Tc;
22 }
23
24 // Controller code - available variables:
25 // vel_odol - impulses per cycle
26 // encoder1_pos - position counter
27
28 voltage_M1 = voltage_M1*(1023/12);
29
30 if (voltage_M1 > 1023){
31     voltage_M1 = 1023;
32 }
33 if (voltage_M1 < -1023){
34     voltage_M1 = -1023;
35 }

```

```
36  
37     set_M1_voltage(voltage_M1);  
38  
39 }
```